

21. 10. 80]

Exemples d'application de la méthode de l'hamiltonien effectif.

[III - 1]

But de ce cours

Montrer la richesse de cette méthode en l'illustrant sur de nombreux exemples.
L'accent est mis plus sur les idées physiques que sur le détail des calculs.

Plan

- ① Premier exemple : interactions effectives entre électrons d'un métal par échange de phonons (T1 à T13)
- ② Etude d'un autre problème très analogue au précédent : Potentiel de Yukawa (T14 à T19)
- ③ Autre exemple : interactions de Runderman - Kittel entre spins nucléaires dans un métal (T20 à T25)
- ④ Autre problème très voisin : interaction d'échange indirecte entre ions paramagnétiques dans un métal (T26)

Premier exemple

(T1)

Attraction effective entre électrons d'un métal par échange de phonons.

Importance de cette attraction effective entre électrons pour la compréhension du phénomène de supraconductivité

Références

C. KITTEL Quantum Theory of Solids
chapitres 7 et 8
et references

Interaction électron - ion dans un métal (T2)

- Ions fixés à leurs positions d'équilibre \vec{R}_i^0

$$H_{\text{électrons}} = \frac{\vec{p}^2}{2m} + \sum_i v(\vec{r} - \vec{R}_i^0)$$

Energie cinétique de couplage e-ion

Les ions en \vec{R}_i^0 forment un réseau périodique \rightarrow électron dans un potentiel périodique

"Bandes" d'énergie $H_e | \vec{k} \rangle = E_k / \vec{k}$

- Ions déplacés de leur positions d'équilibre

$$\delta \vec{R}_i = \vec{R}_i - \vec{R}_i^0 \quad \text{écart jective}$$

$$\sum_i v(\vec{r} - \vec{R}_i) = \sum_i v(\vec{r} - \vec{R}_i^0) - \sum_i \delta \vec{R}_i \cdot \nabla v(\vec{r} - \vec{R}_i^0) +$$

δv

δv : potentiel perturbateur lié aux déplacements des ions. Linéaire en $\delta \vec{R}_i$

Comment les $\delta \vec{R}_i$ évoluent-ils ?

Dynamique du réseau - Phonons (T3)

- les ions sont en mouvement.

Complés les uns aux autres. Minimum d'énergie potentielle pour $\vec{R}_i = \vec{R}_i^0$

les évolutions des $\delta\vec{R}_i$ ne sont pas indépendantes. Possibilité (approximation harmonique) d'introduire des combinaisons linéaires les $\delta\vec{R}_i$ qui évoluent de manière indépendante

"Modes" collectifs de vibration du réseau

Hamiltonien du réseau : équivalent à celui d'un ensemble d'oscillateurs harmoniques indépendants

$$H_{\text{réseau}} = \sum_{\vec{q}} \hbar \Omega_{\vec{q}} (b_{\vec{q}}^\dagger b_{\vec{q}} + \frac{1}{2})$$

$b_{\vec{q}}^\dagger$: Op. de création d'un phonon \vec{q} , $\Omega_{\vec{q}}$

$b_{\vec{q}}$: Op. de destruction " " "

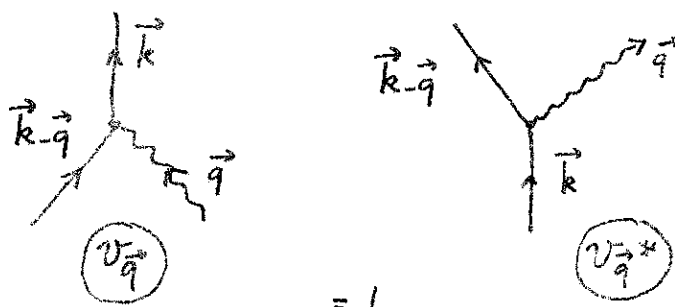
Phonons : excitations élémentaires du réseau

Éléments de matrice de δV (T5)

Décrivant des processus où l'électron change d'état, un phonon \vec{q} étant créé ou détruit

Electrons : traits pleins

Phonons : lignes ondulées



$$\begin{aligned} V_q &= -N_q \langle 0_q | b_q^\dagger | 1_q \rangle \times \\ &\quad \langle \vec{k} | \sum_i e^{i\vec{q} \cdot \vec{R}_i} \vec{E}_q \cdot \vec{\nabla} \delta(\vec{r} - \vec{R}_i) | \vec{k} \rangle \end{aligned}$$

Interaction électron-phonon (III-2)

Les $b_{\vec{q}}$ et $b_{\vec{q}}^\dagger$ sont des combinaisons linéaires des $\delta\vec{R}_i$ et \vec{P}_i (impulsions). Réciproquement, on a :

$$\delta\vec{R}_i = \sum_{\vec{q}} N_{\vec{q}} \vec{E}_{\vec{q}} (b_{\vec{q}} e^{i\vec{q} \cdot \vec{R}_i} + b_{\vec{q}}^\dagger e^{-i\vec{q} \cdot \vec{R}_i})$$

$N_{\vec{q}}$: coef. de normalisation $\vec{E}_{\vec{q}}$: polarisabilité

$$\delta V = - \sum_{\vec{q}} \sum_i N_{\vec{q}} b_{\vec{q}} e^{i\vec{q} \cdot \vec{R}_i} \vec{E}_{\vec{q}} \cdot \vec{\nabla} \delta(\vec{r} - \vec{R}_i) + \text{hc}$$

δV agit à la fois

- sur les variables du réseau : changement des nombres de phonons de ± 1 .
- sur les variables électroniques (\vec{r} apparaît dans δV).

Conservation du vecteur \vec{k} global lié aux symétries (translations)

Écriture de δV en "seconde quantification" (T6)

$$\delta V = \sum_{\vec{R}\vec{q}} (V_{\vec{q}}^\dagger b_{\vec{q}}^\dagger a_{\vec{k}-\vec{q}}^\dagger a_{\vec{k}} + V_{\vec{q}} b_{\vec{q}} a_{\vec{k}}^\dagger a_{\vec{k}-\vec{q}})$$

$a_{\vec{k}}^\dagger$: Op. de création d'un électron dans l'état \vec{k}

$a_{\vec{k}}^\dagger$: Op. de destruction " " "

δV agit sur les nombres d'occupations des états du système électrons + phonons

Tient compte des principes de Pauli
Relations d'anticommutation

$$[a_{\alpha}, a_{\beta}]_+ = [a_{\alpha}^\dagger, a_{\beta}^\dagger]_+ = 0 \quad [a_{\alpha}, a_{\beta}^\dagger]_+ = \delta_{\alpha\beta}$$

Hamiltonien du système global

$$H = H_0 + \delta V$$

$$H_0 = \underbrace{\sum_{\vec{k}} E_{\vec{k}} a_{\vec{k}}^\dagger a_{\vec{k}}}_{\text{Electrons}} + \underbrace{\sum_{\vec{q}} \hbar \Omega_{\vec{q}} (b_{\vec{q}}^\dagger b_{\vec{q}} + \frac{1}{2})}_{\text{Phonons}}$$

Opérateurs à 2 corps [T7]
pour 1 système de N particules identiques

G : opérateur agissant sur 2 particules à la fois

$$G = \frac{1}{2} \sum_{i=1}^N \sum_{j \neq i} g(i, j) \quad \text{Somme sur les particules}$$

Éléments de matrice de g

$$\langle \gamma \delta | g | \alpha \beta \rangle = \int d^3r_1 d^3r_2 \varphi_\gamma^*(\vec{r}_1) \varphi_\delta^*(\vec{r}_2)$$

$$g(\vec{r}_1, \frac{\vec{p}_1}{\hbar}; \vec{r}_2, \frac{\vec{p}_2}{\hbar}) \varphi_\alpha(\vec{r}_1) \varphi_\beta(\vec{r}_2)$$

Représentation

$$\text{de } \langle \gamma \delta | g | \alpha \beta \rangle \quad \begin{matrix} \gamma \\ \alpha \end{matrix} \xrightarrow{\quad g \quad} \begin{matrix} \delta \\ \beta \end{matrix}$$

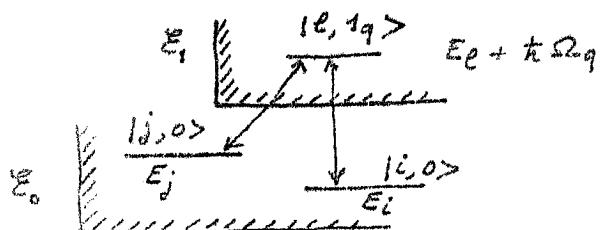
Écriture de G en seconde quantification

$$G = \frac{1}{2} \sum_{\alpha \beta} \sum_{\gamma \delta} \sum_{\text{états}} \quad \text{Somme sur les états}$$

$$\langle \gamma \delta | g | \alpha \beta \rangle = a_\gamma^\dagger a_\delta^\dagger a_\beta a_\alpha$$

a_μ^\dagger : Op. de création d'une particule dans l'état μ
 a_ν : Op. de destruction

Expression de H_{eff} [T9]



$$\langle j, 0 | H_{eff} | i, 0 \rangle = \langle j, 0 | \delta V | i, 0 \rangle + \frac{1}{2} \sum_q \sum_k$$

$$\langle j, 0 | \delta V | l, 1q \rangle \langle l, 1q | \delta V | i, 0 \rangle \left(\frac{1}{E_i - E_l - \omega_q} + \frac{1}{E_j - E_l - \omega_q} \right)$$

$$\sum_k V_q b_q^\dagger a_{k+q}^\dagger a_k \quad \sum_k V_q^* b_q^\dagger a_{k-q}^\dagger a_k$$

$$\langle 0 | b_q | 1q \rangle \langle 1q | b_q^\dagger | 0 \rangle = 1$$

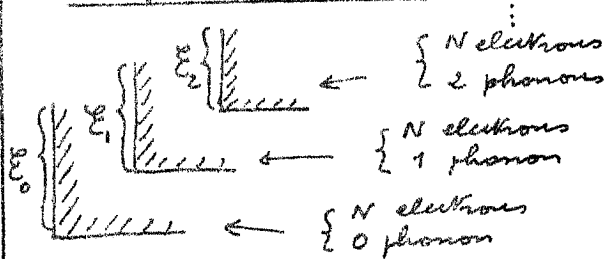
Pour chaque terme $a_{k+q}^\dagger a_k$ de la somme sur k , il existe un seul état l pour lequel $\langle l | a_{k+q}^\dagger a_k | i \rangle \neq 0$. Et on a alors

$$E_i - E_l - \omega_q = E_k - E_{k+q} - \omega_q$$

Même raisonnement pour $\langle j | a_{k+q}^\dagger a_k | l \rangle$

$$E_j - E_l - \omega_q = E_{k+q} - E_{k+q} - \omega_q$$

Multiplicités non-perturbées [III-3]
du système électrons - phonons



A très basse température ($T \approx 0^\circ K$), seule, la multiplicité E_0 est occupée

Effet de δV

δV couple E_0 et E_1 .

L'effet de δV sur E_0 (au 2^{ème} ordre) peut être décrit par un hamiltonien effectif n'agissant que dans E_0 .

Effet des émissions et réabsorptions virtuelles de phonons décrit par un hamiltonien effectif purement électronique.

Expression de H_{eff} [T-10]
en seconde quantification

Lorsqu'on fixe $\vec{q}, \vec{k}, \vec{k}'$, les dénominatrices d'énergie ont une valeur bien déterminée qui ne dépend que de $\vec{q}, \vec{k}, \vec{k}'$.

Il n'est donc pas nécessaire de spécifier i et j . La somme sur l fait apparaître une relation de fermeture intermédiaire. Ainsi,

$$H_{eff} = \frac{1}{2} \sum_k \sum_{k'q} \sum_q a_{k+q}^\dagger a_{k'}^\dagger a_{k-q}^\dagger a_k \times |V_q|^2 \left[\frac{1}{E_k - E_{k+q} - \omega_q} + \frac{1}{E_{k+q} - E_{k'} - \omega_q} \right]$$

Mettions tous les a^\dagger à gauche, tous les a à droite

$$a_{k'}^\dagger a_{k-q}^\dagger = -a_{k-q}^\dagger a_{k'}^\dagger + \delta_{k-k'-q}$$

D'où l'on tire

$$a_{k'+q}^\dagger a_{k'}^\dagger a_{k-q}^\dagger a_k = a_k^\dagger a_k \delta_{k-k'-q} + a_{k-q}^\dagger a_{k'+q}^\dagger a_{k'}^\dagger a_k$$

Expression finale pour H_{eff}

[T-11]

[T-12]

Interprétation physique de H_{eff}^1

[III - 4]

$$H_{eff} = H_{eff}^1 + H_{eff}^2$$

$$H_{eff}^1 = \sum_k \sum_q a_k^+ a_k \frac{|v_q|^2}{E_k - E_{k+q} - \Omega_q}$$

Hamiltonien effectif à 1 particule

Pour l'autre terme, on change \vec{k} en \vec{k}' et vice versa, \vec{q} en $-\vec{q}$. On utilise $\Omega_q = \Omega_{-q}$ $|v_q|^2 = |v_{-q}|^2$

On peut alors remplacer le 2^e dénominateur d'énergie par $1/(E_{k+q} - E_k - \Omega_q)$ et on obtient finalement

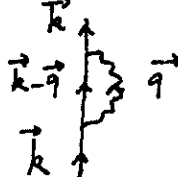
$$H_{eff}^2 = \sum_{k k' q} \frac{|v_q|^2 \Omega_q}{(E_k - E_{k+q})^2 - \Omega_q^2} a_k^+ a_{k+q}^+ a_{k+q} a_k$$

Même forme qu'un opérateur à 2 corps décrivant une interaction entre électrons

$$\sum_k E_k a_k^+ a_k + H_{eff}^1 = \sum_k (E_k + \delta E_k) a_k^+ a_k$$

$$\text{avec } \delta E_k = \sum_q \frac{|v_q|^2}{E_k - E_{k+q} - \Omega_q}$$

Modification de l'énergie de l'état électronique \vec{k} due à l'émission et à la réabsorption virtuelle d'un photon par l'électron dans l'état k



Electron "habillé" par un nuage de phonons virtuels

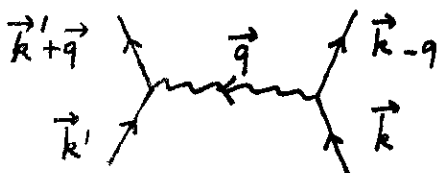
"Polaron"

Propriétés physiques différentes de celles de l'électron "nu".

Interprétation physique de H_{eff}^2

[T-13]

Interaction effective entre 2 électrons due à l'échange d'un phénomène virtuel



Un électron déforme le réseau derrière lui. La déformation ainsi créée interagit avec un 2^e électron. Approximations couramment faites

- Ω_q indépendant de q (phonons optiques)
- les états électroniques qui interviennent sont au voisinage du niveau de Fermi dans une bande d'énergie de largeur faible devant Ω_q . On néglige $(E_k - E_{k+q})^2$ devant Ω_q^2

$$H_{eff} = \sum_{k k' q} - \frac{|v_q|^2}{\Omega_q} a_{k+q}^+ a_{k+q}^+ a_{k+q} a_k$$

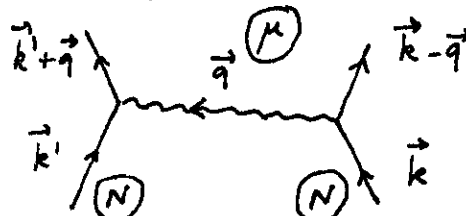
Interaction attractive

Etude d'un autre problème [T-14]

analogue au précédent

Potentiel de Yukawa

Interaction entre 2 particules (très massives) N par l'intermédiaire de l'échange d'une particule μ



Modèle très schématique pour décrire l'interaction entre 2 nucléons résultant de l'échange de mésons.

Hamiltoniens

Comme plus haut

$$H = H_0 + \delta V$$

$$H_0 = \sum_k E_k^* a_k^+ a_k^- + \sum_q t \Omega_q b_q^+ b_q^-$$

Particules N Particules μ
masse au repos M_0 masse au repos m_0

Energie relativiste

$$E_k^* = \sqrt{M_0^2 c^4 + \hbar^2 c^2 k^2} \quad t \Omega_q = \sqrt{m_0^2 c^4 + \hbar^2 c^2 q^2}$$

$$\delta V = \sum_{k,q} V_q^* b_q^+ a_{k-q}^+ a_k^- + \text{h.c.}$$

Processus élémentaires d'émission ou d'absorption de μ par les N

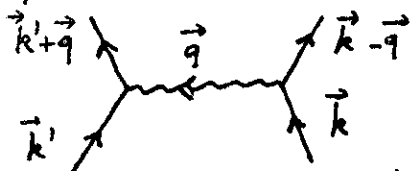
Dépendance en q de l'amplitude V_q
(Se démontre aisément à partir d'arguments relativistes):

$$V_q \sim \frac{1}{\sqrt{\Omega_q}}$$

Peut-on interpréter le

Résultat précédent en termes d'un potentiel $W(\vec{r}_1 - \vec{r}_2)$ ne dépendant que de la position relative des 2 particules?

Si cela était vrai, l'amplitude $\frac{1}{\Omega_q}$ du processus



pourrait s'écrire également

$$\int d^3 r_1 d^3 r_2 [e^{i(\vec{k}+\vec{q}) \cdot \vec{r}_2} e^{i(\vec{k}-\vec{q}) \cdot \vec{r}_1}]^*$$

$$W(\vec{r}_1 - \vec{r}_2) [e^{i\vec{k} \cdot \vec{r}_2} e^{i\vec{k} \cdot \vec{r}_1}]$$

$$\sim \int d^3 p \quad W(\vec{p}) \quad e^{-i\vec{q} \cdot \vec{p}}$$

Transformée de Fourier spatiale
du potentiel

[T-15]

[T-16]

Interaction effective

[III - 5]

Un calcul identique en tous points au précédent conduit à

$$H_{eff} = \sum_{q q' k} \frac{|V_q|^2 \Omega_q}{(E_k - E_{k-q})^2 - \Omega_q^2} a_{k-q}^+ a_{k-q'}^+ a_{k'}^- a_k^-$$

Hypothèse sur les particules N : elles sont très massives ($M_0 \gg m_0$). Elles ne réagissent pratiquement pas quand elles émettent ou absorbent une particule μ .

On peut donc valablement négliger $(E_k - E_{k-q})^2$ devant Ω_q^2

Comme $V_q \sim \frac{1}{\sqrt{\Omega_q}}$, on obtient finalement

$$H_{eff} \sim \sum_{k, k', q} - \frac{1}{\Omega_q^2} a_{k-q}^+ a_{k'+q}^+ a_{k'}^- a_k^-$$

Conclusion

[T-18]

L'interaction entre particules N par échange de μ peut être décrite par un potentiel $W(\vec{r})$ donné par la T.F. de

$$\frac{1}{\Omega_q^2} \sim \frac{1}{q^2 + \frac{m_0^2 c^2}{\hbar^2}}$$

Donc

$$W(r) \sim \int d^3 q \quad \frac{e^{i\vec{q} \cdot \vec{r}}}{q^2 + \frac{m_0^2 c^2}{\hbar^2}}$$

$$\sim \frac{1}{r} e^{-\frac{r}{r_0}}$$

avec $r_0 = \frac{\hbar}{mc}$ longueur d'onde de Compton de μ

Potentiel de Yukawa de portée r_0 finie

Interprétation en termes de transitions virtuelles

Limite $m_0 \rightarrow 0$

Si $m_0 \rightarrow 0$, $r_0 \rightarrow \infty$

le potentiel de Yukawa tend, à la limite $m_0 \rightarrow 0$, vers un potentiel coulombien en $\frac{1}{r}$

les forces électromagnétiques, à longue portée, s'interprètent bien comme résultant d'un échange de particules de masse au repos nulle, les photons

T-19

T-20] Autre exemple

III-6

Interaction de Ruderman - Kittel entre spins nucléaires dans un métal

Références

Ruderman Kittel - Phys Rev 96, 93 (1954)

Kittel - Théorie quantique du solide p. 381

Abragam - Principle of nuclear magnetism p. 206

Modèle très simple

Gaz d'électrons libres dans une boîte

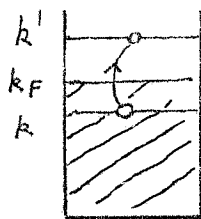
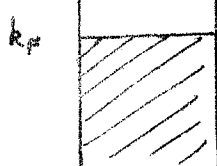


2 Spins nucléaires \vec{I}_1 et \vec{I}_2 en \vec{R}_1, \vec{R}_2 , interagissant avec les électrons par une interaction de contact

$$A \sum_{\text{électrons } i} [\delta(\vec{R}_i - \vec{r}_i) \vec{I}_1 \cdot \vec{s}_i + \delta(\vec{R}_2 - \vec{r}_i) \vec{I}_2 \cdot \vec{s}_i]$$

Excitations élémentaires
du gaz d'électrons

T-21



Etat fondamental |0>

Tous les états k occupés jusqu'à la surface de Fermi k_F

Un électron est porté d'un état occupé k vers un état vide k'

Mécanisme du couplage indirect entre les spins nucléaires

L'un des 2 spins excite le gaz d'électrons de |0> à |e>, l'autre le fait revenir de |e> à |0>

$$H_{eff} = \sum_e \frac{\langle 0 | V | e \rangle \langle e | V | 0 \rangle}{E_0 - E_e}$$

Expression de H_{eff}

$$H_{eff} = A^2 \sum_{m_S, m'_S = \pm} \frac{1}{E_k - E_{k'}} \times \\ h \text{ vides, } h \text{ occupés} \\ \langle k m_S | \delta(\vec{r} - \vec{r}_1) \vec{S} \cdot \vec{I}_1 | k' m'_S \rangle \langle k' m'_S | \delta(\vec{r} - \vec{r}_2) \vec{S} \cdot \vec{I}_2 | k m_S \rangle \\ + 1 \equiv 2$$

Expression entièrement calculable car on connaît les énergies et les fonctions d'onde $\psi_k(r) \propto e^{i \vec{k} \cdot \vec{r}}$

$$E_k = \frac{\hbar^2 k^2}{2m}$$

Somme sur les états de spin électromagnétique

$$\sum_{m_S, m'_S} \langle m_S | \vec{S} \cdot \vec{I}_1 | m'_S \rangle \langle m'_S | \vec{S} \cdot \vec{I}_2 | m_S \rangle$$

$$= \sum_{m_S} \langle m_S | (\vec{S} \cdot \vec{I}_1)(\vec{S} \cdot \vec{I}_2) | m_S \rangle =$$

$$\sum_{a,b=1,2,3} I_{1a} I_{2b} \underbrace{\sum_{m_S} \langle m_S | S_a S_b | m_S \rangle}_{= \delta_{ab} \frac{1}{3} T_2 \vec{S}^2 = \frac{1}{2} \delta_{ab}} =$$

$$= \frac{1}{2} \vec{I}_1 \cdot \vec{I}_2$$

Interaction scalaire

Intégrale à calculer

$$\int_0^{k_F} d^3k \int_{-\infty}^{\infty} d^3k' \frac{e^{i(\vec{k}' - \vec{k})(\vec{R}_1 - \vec{R}_2)}}{k^2 - k'^2} + c.c.$$

qui fait apparaître $F(2k_F R)$

$$\text{où } R = |\vec{R}_1 - \vec{R}_2| \text{ et}$$

$$F(x) = \frac{x \cos x - \sin x}{x^3}$$

Finallement, on obtient

$$H_{eff} = C F(2k_F R) \vec{I}_1 \cdot \vec{I}_2$$

C : constante dépendant de n, m, k_F

Interaction scalaire effective entre les 2 spins nucléaires

- à longue portée

F ne décroît pas exponentiellement mais en $1/R^3$

- présentant des oscillations en fonction de R avec une période de l'ordre de la longueur d'onde de Fermi.

Importance des étaux électromagnétiques

très proches de k_F

Ont un poids élevé à cause de densité maximale d'énergie en $\frac{1}{k^2 - k_F^2}$ dans H_{eff}

k et k' peuvent être très proches de part et d'autre de k_F

$$k_F = \frac{k}{10 - k}$$

Il existe des excitations élémentaires du gaz d'électrons d'énergie $k'^2 - k^2$ aussi faible que l'on veut

Consequence

- Portée infinie
- Oscillations spatiales à la période $\Delta_F = k_F^{-1}$ dans le couplage indirect

T-23

T-24 Interprétation physique

III-7

Le spin nucléaire \vec{I} , "polarise" le gaz d'électrons. Il interagit différemment avec les spins 3 parallèles ou antiparallèles à lui. La polarisation électromagnétique ainsi créée est proportionnelle à \vec{I}_1 , et réagit sur l'autre spin nucléaire \vec{I}_2 .

Cette interaction indirecte est à longue portée car les électrons sont libres. Ils sont délocalisés dans tout le métal et peuvent transmettre l'information sur de grandes distances, de \vec{I}_1 à \vec{I}_2 .

Situation différente dans un isolant. On trouve alors une interaction de portée finie, inversement proportionnelle à la largeur de la bande interdite séparant la bande de conduction de la bande de valence

Autre problème très voisin

T-26

Ions ayant un paramagnétisme électromagnétique dans un métal (Exemple : métal du groupe des terres rares - lanthanides)

Interaction indirecte entre 2 ions par l'intermédiaire de l'interaction d'échange de leur couche interne (don f), très localisé, avec les électrons de conduction \rightarrow Interaction d'échange (électromagnétique) indirecte entre ions dont le signe dépend de la distance.

Importance pour la compréhension du magnétisme (structures ferro, anti-ferromagnétiques)